
Lista 5

Campo Distante pela Superfície de Ffowcs Williams and Hawkings

Aeroacústica Computacional

Aluno:

José Pedro de Santana Neto - 201505394

Professor: **Andrey Ricardo da Silva, PhD.**

10 de dezembro de 2015

1 Problema

No contexto de simulações de fenômenos aeroacústicos usando Lattice Boltzmann, normalmente o campo de pressão ao longo do espaço é referente ao campo próximo e, por limitações de recursos computacionais, criar uma malha grande o suficiente para englobar o campo distante inviabiliza de forma integral a simulação. O presente problema a ser estudado e analisado diz respeito a um sólido quadrado que está sofrendo a influência de um escoamento de velocidade horizontal. O presente sistema é retratado de acordo com a figura 1.

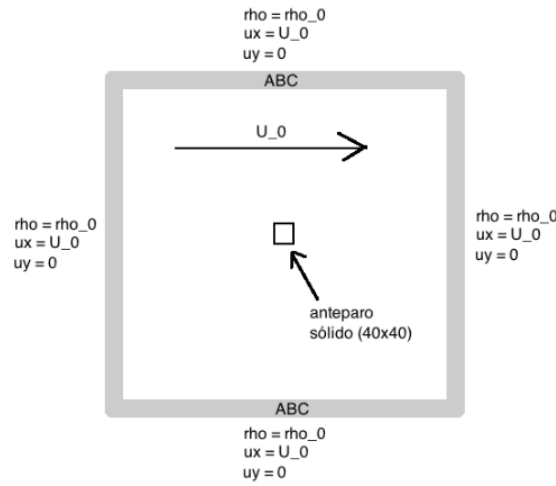


Figura 1: Esquemático do problema.

Diante do contexto exposto, propõe-se submeter esse sistema a um escoamento de velocidades $Mach = 0.07$ e 0.1 . Além disso a superfície de FW-H será variada de 1 célula até 100 células de Lattice e análise da diretividade em campo distante há 15 metros da fonte.

2 Solução e Implementação

Para mitigar o problema da captação do campo distante dado as limitações computacionais, há a proposta de (LOCKARD, 2000) que utiliza da superfície de Ffowcs Williams and Hawkings para extrapolar resultados para o campo distante usando a composição do espectro de frequências do campo acústico próximo. Para a aplicação dessa técnica é preciso delimitar uma região para essa superfície e aplicar a equação da figura 2.

$$\begin{aligned} H(f)c_o^2\rho'(\mathbf{y},\omega) = & -\oint_{f=0} F_i(\xi,\omega)\frac{\partial G(\mathbf{y};\xi)}{\partial \xi_i}dl \\ & -\oint_{f=0} i\omega Q(\xi,\omega)G(\mathbf{y};\xi)dl \\ & -\int_{f>0} T_{ij}(\xi,\omega)H(f)\frac{\partial^2 G(\mathbf{y};\xi)}{\partial \xi_i\partial \xi_j}d\xi. \end{aligned}$$

Figura 2: Equação da superfície de FW-H.

Para as determinações das forças de dipolo e monopolo usa-se as equações da figura 2 somente, de tal forma que a contribuição das fontes quadripolos seja redirecionada para as fontes originadas a partir da inserção da superfície de FW-H.

$$\begin{aligned} F_i = & (p\delta_{ij} + \rho(u_i - 2U_i)u_j + \rho_o U_i U_j)\frac{\partial f}{\partial y_j} \\ Q = & (\rho u_i - \rho_o U_i)\frac{\partial f}{\partial y_i}. \end{aligned}$$

Figura 3: Equações de dipolo e monopolo respectivamente.

Para a implementação da função de Green foi utilizada uma solução específica obtida a partir da transformação de Prandtl-Glauert. Os valores de x e y são respectivamente a posição na abscissa e ordenada do observador e os valores de ξ

e η são os valores de cada ponto da superfície na abscissa e ordenada respectivamente. A figura 2 mostra a solução da função de Green implementada e a figura 2 mostra o esquemático apresentado de forma visual.

$$G(x, y; \xi, \eta) = \frac{i}{4\beta} \exp^{(Mk\bar{x}/\beta^2)} H_0^{(2)}\left(\frac{k}{\beta^2} \sqrt{\bar{x}^2 + \beta^2 \bar{y}^2}\right),$$

Figura 4: Equação da função de Green implementada.

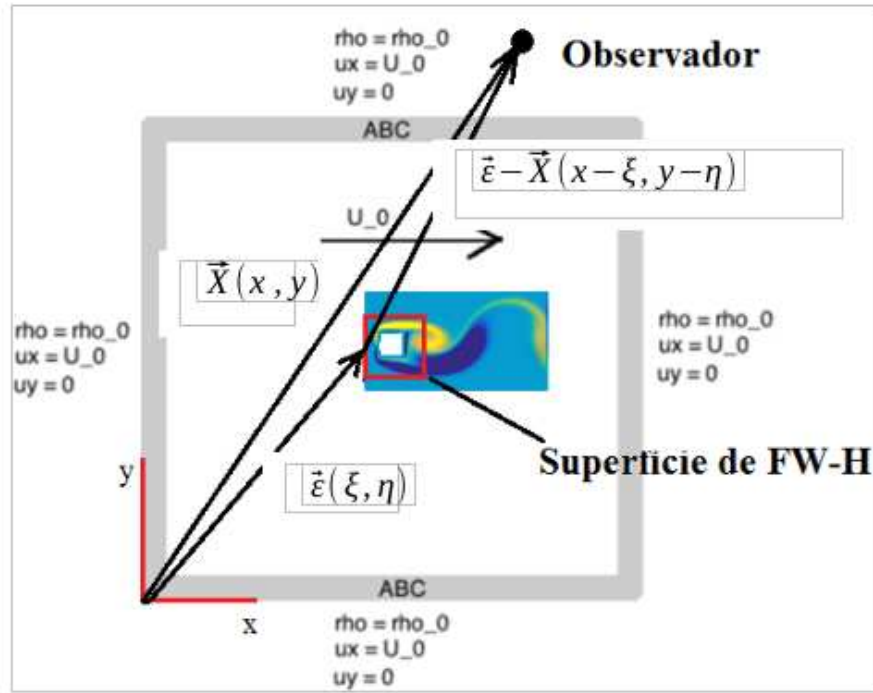


Figura 5: Esquemático visual da implementação.

No intuito de filtrar a frequência do dipolo e apresentá-lo em diretividade no campo distante, foi realizada uma captura de histórico de pressões e feito a transformada de fourier para a verificação da frequência mais forte, caracterizada no dipolo. Eis que na figura 2 mostra os resultados desse processo.

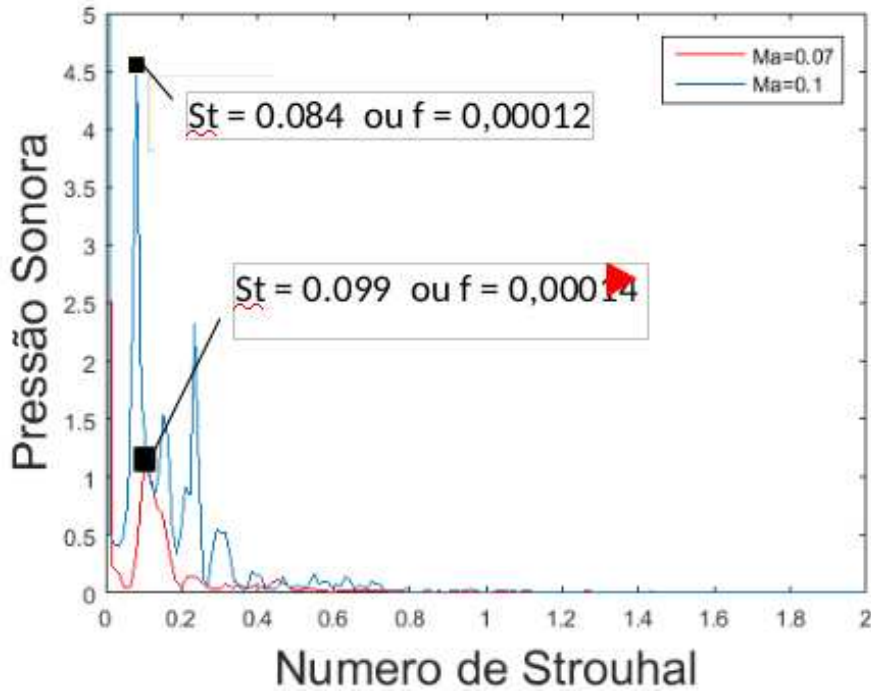


Figura 6: Frequências e números de strouhal de pico.

E para implementação foram desenvolvidos 2 *scripts*: simulação e pós-processamento. O *script* da simulação foi consolidado a partir do trabalho anterior que abordava o mesmo tema porém foram implementadas extração dos valores de densidade e velocidades para cada incremento de tempo. Tais valores foram armazenados no formato binário do MATLAB do tipo **.mat**. Para o *script* de pós-processamento foram considerados os seguintes procedimentos:

1. Abrir o arquivo de dados salvo a partir da simulação realizada;
2. Para cada incremento de tempo calcular os valores das fontes da superfície de FW-H: dipolo (F_i) e monopolo (Q);

3. Realizar a transformada de fourier (FFT) nos vetores calculados F_i e Q para obter a variação das componentes frequenciais ao longo da superfície;
4. Calcular a função de Green a partir de variáveis simbólicas a partir dos valores de campo distante;
5. Multiplicar as variáveis dipolo (F_i) e monopolo (Q) com a função de Green;
6. Derivar a multiplicação do dipolo (F_i);
7. Realizar esse processo para vários valores de campo de distante de tal forma a captar a diretividade.

Segue *script* de simulação:

```

1 %% This is a simple implementation of the LBGK model.
  %% By Andrey R. da Silva , August 2010
3 %%
  %% The code does not take into account any specific boundary
    condition.
5
  clear all , clc
7 close all
  tic
9 % Block 1

11 %%% Lattice size

13 Nr = 502;                % Number of lines   (cells in the y
    direction)
  Mc = 502;                % Number of columns (cells in the x
    direction)
15 % Block 2

17 %%% Physical parameters (macro)

19 c_p = 340;              % Sound velocity on the fluid [m/s]
  rho_p = 1.2;            % physical density [kg/m^3]
21 rho_p = 1;             % Fluid density   [kg/m^3]

```

```

Lx = .5; % Maximun dimenssion in the x direction
    [m]
23 Ly = 0.0833; % Maximun dimenssion on th y direction
    [m]
Dx = Lx/Mc % Lattice space (pitch)
25 Dt = (1/sqrt(3))*Dx/c_p % lattice time step
% Block 3
27 %%% Lattice parameters (micro - lattice unities)
    omega = 1.93; % Relaxation
        frequency
29 tau = 1/omega; % Relaxation time
    rho_l = 1; % avereged fluid
        density (latice density
31 cs = 1/sqrt(3); % lattice speed of
        sound
    cs2 = cs^2; % Squared speed of
        sound cl^2
33 visc = cs2*(1/omega-0.5); % lattice viscosity
    visc_phy = visc*(Dx^2)/Dt; % physical
        kinematic viscosity
35 % Block 4
    %%%%%%%%%%
37 %%% Lattice properties for the D2Q9 model
    %%%%%%%%%%
39 N_c=9 ; % number of
        directions of the D2Q9 model
    C_x=[1 0 -1 0 1 -1 -1 1 0]; % velocity
        vectors in x
41 C_y=[0 1 0 -1 1 1 -1 -1 0]; % velocity
        vectors in y
    w0=16/36. ; w1=4/36. ; w2=1/36.; % lattice weights
43 W = [w1 w1 w1 w1 w2 w2 w2 w2 w0];
    f1=3.;
45 f2=4.5;
    f3=1.5; % coef. of the f
        equil.
47 % Array of distribution and relaxation functions
    f=zeros(Nr,Mc,N_c);
49 feq=zeros(Nr,Mc,N_c);

```

```

% Filling the initial distribution function (at t=0) with initial
  values
51 f(:, :, :) = rho_l / 9;
   ux = zeros(Nr, Mc);
53 uy = zeros(Nr, Mc);
   % Calculando a condicao anecoica
55 % 4.0.1 – Adding conditions anechoic
   distance = 30;
57 % condicao anecoica para cima
   growth_delta = 0.5;
59 [sigma_mat9_cima Ft_cima] = build_anechoic_condition(Mc, ...
   Nr, distance, growth_delta);
61 % condicao anecoica para baixo
   growth_delta = -0.5;
63 [sigma_mat9_baixo Ft_baixo] = build_anechoic_condition(Mc, ...
   Nr, distance, growth_delta);
65 % condicao anecoica para esquerda
   growth_delta = -1;
67 [sigma_mat9_esquerda Ft_esquerda] = build_anechoic_condition(Mc, ...
   Nr, distance, growth_delta);
69 % condicao anecoica para direita
   growth_delta = 1;
71 [sigma_mat9_direito Ft_direito] = build_anechoic_condition(Mc, ...
   Nr, distance, growth_delta);
73 % Vendo pontos de barreira da xirizuda
   xl = [2 2 501 501 2];
75 yl = [2 501 501 2 2];
   [vec1, vec2, vec3, vec4, vec5, vec6, vec7, vec8] = crossing3(Nr, Mc, xl, yl);
77 %xl = [250 250];
   %yl = [1 50];
79 xl = [231 231 271 271 231];
   yl = [231 271 271 231 231];
81 [vec1_duto, vec2_duto, vec3_duto, vec4_duto, vec5_duto, vec6_duto,
   vec7_duto, vec8_duto] = ...
   crossing3(Nr, Mc, xl, yl);
83 %Block 5
   %%%%%%%%%
85 %% Begin the interactive process
   %%%%%%%%%

```



```

87 % Construindo chirp
total_time = 80000;
89 rho_save = [];
ux_save = [];
91 uy_save = [];
for ta = 1 : total_time
93
    % Block 5.1
95 %%%%%%%%%%%%%%%%%%%%%%%%%%%%%%%%%%%%%%%%%%%%%%%%%%%%%%%%%%%%%%%%%%%%%%%%%%
    %% propagation (streaming)
97 %%%%%%%%%%%%%%%%%%%%%%%%%%%%%%%%%%%%%%%%%%%%%%%%%%%%%%%%%%%%%%%%%%%%%%%%%%

    f(:, :, 1) = [ f(:, 1:2, 1) f(:, 2:Mc-1, 1) ];
    f(:, :, 2) = [ f(1:2, :, 2) ; f(2:Nr-1, :, 2) ];
101 f(:, :, 3) = [ f(:, 2:Mc-1, 3) f(:, Mc-1:Mc, 3) ];
    f(:, :, 4) = [ f(2:Nr-1, :, 4) ; f(Nr-1:Nr, :, 4) ];
103 f(:, :, 5) = [ f(:, 1:2, 5) f(:, 2:Mc-1, 5) ];
    f(:, :, 5) = [ f(1:2, :, 5) ; f(2:Nr-1, :, 5) ];
105 f(:, :, 6) = [ f(:, 2:Mc-1, 6) f(:, Mc-1:Mc, 6) ];
    f(:, :, 6) = [ f(1:2, :, 6) ; f(2:Nr-1, :, 6) ];
107 f(:, :, 7) = [ f(:, 2:Mc-1, 7) f(:, Mc-1:Mc, 7) ];
    f(:, :, 7) = [ f(2:Nr-1, :, 7) ; f(Nr-1:Nr, :, 7) ];
109 f(:, :, 8) = [ f(:, 1:2, 8) f(:, 2:Mc-1, 8) ];
    f(:, :, 8) = [ f(2:Nr-1, :, 8) ; f(Nr-1:Nr, :, 8) ];
111 G=f;
    f(vec1)=G(vec3);
113 f(vec3)=G(vec1);
    f(vec2)=G(vec4);
115 f(vec4)=G(vec2);
    f(vec5)=G(vec7);
117 f(vec7)=G(vec5);
    f(vec6)=G(vec8);
119 f(vec8)=G(vec6);
    G=f;
121 f(vec1_duto)=G(vec3_duto);
    f(vec3_duto)=G(vec1_duto);
123 f(vec2_duto)=G(vec4_duto);
    f(vec4_duto)=G(vec2_duto);
125 f(vec5_duto)=G(vec7_duto);

```

```

127     f(vec7_duto)=G(vec5_duto);
128     f(vec6_duto)=G(vec8_duto);
129     f(vec8_duto)=G(vec6_duto);
130 % Block 5.2
131 % recalculating rho and u
132 rho=sum(f,3);
133 %% Calculando uma fonte ABC dentro do dominio
134 Ma = [0.03 0.07 0.1];
135 density_source = rho_1;
136
137 rt0= w0*rho;
138 rt1= w1*rho;
139 rt2= w2*rho;
140 % Determining the velocities according to Eq.() (see slides)
141 ux = (C_x(1).*f(:, :, 1)+C_x(2).*f(:, :, 2)+C_x(3).*f(:, :, 3)+C_x(4).*
f(:, :, 4)+C_x(5).*f(:, :, 5)+C_x(6).*f(:, :, 6)+C_x(7).*f(:, :, 7)+C_x(8)
.*f(:, :, 8))./rho ;
142 uy = (C_y(1).*f(:, :, 1)+C_y(2).*f(:, :, 2)+C_y(3).*f(:, :, 3)+C_y(4).*
f(:, :, 4)+C_y(5).*f(:, :, 5)+C_y(6).*f(:, :, 6)+C_y(7).*f(:, :, 7)+C_y(8)
.*f(:, :, 8))./rho ;
143 pressoes(ta) = (rho(450, 250) - 1)*cs2;
144
145 numero_quadrados = 1;
146 ponto_1_superficie = [(231 - numero_quadrados) (231 -
numero_quadrados)];
147 y1 = ponto_1_superficie(1);
148 x1 = ponto_1_superficie(2);
149 ponto_2_superficie = [(271 + numero_quadrados) (271 +
numero_quadrados)];
150 y2 = ponto_2_superficie(1);
151 x2 = ponto_2_superficie(2);
152 shift = 1;
153 rho_linha = [rho(y1:y1, x1:(x2-shift)) rho(y1:(y2-shift), x2:
x2)' rho(y2:y2, (x2-shift):-1:x1) rho((y2-shift):-1:y1,x1:x1)'];
154 rho_save(:, ta) = rho_linha;
155 ux_linha = [ux(y1:y1, x1:(x2-shift)) ux(y1:(y2-shift), x2:x2)
' ux(y2:y2, (x2-shift):-1:x1) ux((y2-shift):-1:y1,x1:x1)'];
156 ux_save(:, ta) = ux_linha;
157 uy_linha = [uy(y1:y1, x1:(x2-shift)) uy(y1:(y2-shift), x2:x2)
' uy(y2:y2, (x2-shift):-1:x1) uy((y2-shift):-1:y1,x1:x1)'];
158 uy_save(:, ta) = uy_linha;

```

```

157     ' uy(y2:y2, (x2-shift):-1:x1) uy((y2-shift):-1:y1,x1:x1) '];
        uy_save(:, ta) = uy_linha;

159 % Block 5.3
%%%%%%%%%%%%%%%%%%%%%%%%%%%%%%%%%%%%%%%%%%%%%%%%%%%%%%%%%%%%%%%%%%%%%%%%%%%%%%
161 %% Determining the relaxation functions for each direction
%%%%%%%%%%%%%%%%%%%%%%%%%%%%%%%%%%%%%%%%%%%%%%%%%%%%%%%%%%%%%%%%%%%%%%%%%%%%%%
163 uxsq=ux.^2;
    uysq=uy.^2;
165 usq=uxsq+uysq;

167 feq(:, :, 1)= rt1 .* (1 +f1*ux +f2.*uxsq -f3*usq);
    feq(:, :, 2)= rt1 .* (1 +f1*uy +f2.*uysq -f3*usq);
169 feq(:, :, 3)= rt1 .* (1 -f1*ux +f2.*uxsq -f3*usq);
    feq(:, :, 4)= rt1 .* (1 -f1*uy +f2.*uysq -f3*usq);
171 feq(:, :, 5)= rt2 .* (1 +f1*(+ux+uy) +f2*(+ux+uy).^2 -f3.*usq);
    feq(:, :, 6)= rt2 .* (1 +f1*(-ux+uy) +f2*(-ux+uy).^2 -f3.*usq);
173 feq(:, :, 7)= rt2 .* (1 +f1*(-ux-uy) +f2*(-ux-uy).^2 -f3.*usq);
    feq(:, :, 8)= rt2 .* (1 +f1*(+ux-uy) +f2*(+ux-uy).^2 -f3.*usq);
175 feq(:, :, 9)= rt0 .* (1 - f3*usq);

177 % Block 5.4
%%%%%%%%%%%%%%%%%%%%%%%%%%%%%%%%%%%%%%%%%%%%%%%%%%%%%%%%%%%%%%%%%%%%%%%%%%%%%%
179 % Collision (relaxation) step
%%%%%%%%%%%%%%%%%%%%%%%%%%%%%%%%%%%%%%%%%%%%%%%%%%%%%%%%%%%%%%%%%%%%%%%%%%%%%%

181 % colidindo tudo
183 f = (1-omega)*f + omega*feq ...
    - sigma_mat9_cima.*(feq- Ft_cima) ...
185 - sigma_mat9_direito.*(feq- Ft_direito) ...
    - sigma_mat9_esquerda.*(feq- Ft_esquerda) ...
187 - sigma_mat9_baixo.*(feq- Ft_baixo);

189 % Ploting the results in real time

191 %%
    if mod(ta, 100) == 0
193         %vorticidade = curl(ux, uy);
        % velocity = sqrt(ux.^2 + uy.^2);

```

```

195     %imagesc(flip(vorticidade))
    disp('Progresso: ');
197     disp((ta/total_time*100));
    % imagesc(flip(velocity), [.00001 Ma(3)*cs]);
199     %axis equal
    % pause(.000001);
201 end

203 % gravando dados
    % Inserindo dimensoes da superficie (y, x) quadrada de FW-H
205 end % End main time Evolution Loop
nome_arquivo = 'dados';
207 %nome_arquivo = ['dados/' num2str(ta) '.mat'];
    save(nome_arquivo, 'rho_save', 'ux_save', 'uy_save', 'pressoes', '
        total_time');
209 %Analise Freq.
    p=pressoes(30000:end);
211 f=linspace(0,1,length(p));
    fft=abs(fft(p));
213 %Getting slot
    figure;plot(fft); axis([2 20 0 4])
215 % Getting frequency
    figure;plot(f,fft);axis([0.01 0.2 0 4])

```

../lista_5.m

Segue *script* de pós-procecssamento:

```

%% Post-processing
2
clear variables; close all; clc
4
file = 'dados';
6
load([file '.mat']);
8
% Correction to include the smallest FW surface
10 %if exist('Nx','var') == false
    % Nx = 43;

```

```

12 %end
    %if exist('Ny','var') == false
14 %    Ny = 43;
    %end

16 %% DATA FROM PREVIOUS SIMULATIONS
18 %peak.velocity =    [0.03,    0.07,    0.10];
    %peak.frequency =    [35,        79,        113];
20 %peak.index =        [10,        21,        30 ];

22 %I = find(M == peak.velocity);
    %freq_peak = peak.frequency(I);
24 I_peak = 7;

26 %% Directivity analysis points
    theta = (0:3:360)*pi/180;
28 radius = 15;
    Dx = 0.004177e-3; % metros
30 M = 0.1;
    cs = 1/sqrt(3);
32 cs2 = cs^2;
    radius_lat = radius/Dx;
34 [probe_x,probe_y] = pol2cart(theta,radius_lat);

36 %% Green function
    syms x y xi eta
38 x_bar = x - xi;
    y_bar = y - eta;
40
    beta = sqrt(1-M^2);
42 %freq_lat = freq_peak*Dx/zeta;
    freq_lat = 0.00012;
44
    k = 2*pi*freq_lat/cs;
46
    z = k/beta^2*sqrt(x_bar^2 + beta^2*y_bar^2);
48 H = besselj(0,z) - 1i*bessely(0,z);
    Green = 1i/(4*beta)*exp(1i*M*k*x_bar/beta^2)*H;
50

```

```

dGdxi = diff(Green, xi);
52 dGdeta = diff(Green, eta);
    % Removes transient
54 %hist_p(:,1:50000) = [];
    %hist_ux(:,1:50000) = [];
56 %hist_uy(:,1:50000) = [];
    %hist_rho(:,1:50000) = [];
58
    % Frequency vector
60 %Fs = 1/Dt;                % Sampling frequency
    %L = length(hist_p);
62 L = total_time;
    Fs = 1;
64 Nx = 42;
    Ny = 42;
66 frequency = Fs*(0:(L/2))/L; % frequency vector

68 %% SURFACE NORMALS
    % Surface derivatives
70 hist_rho = rho_save(:,30000:end);
    hist_ux = ux_save(:,30000:end);
72 hist_uy = uy_save(:,30000:end);
    hist_p = (hist_rho - 1)*cs2;
74 %hist_p = hist_p - mean(hist_p);
    dfdx = [repelem(0,Nx), repelem(1,Nx), repelem(0,Nx), repelem(-1,Nx)];
76 dfdx = repmat(dfdx',1,length(hist_p));
    dfdy = [repelem(1,Ny), repelem(0,Ny), repelem(-1,Ny), repelem(0,Ny)];
78 dfdy = repmat(dfdy',1,length(hist_p));

80 %% MONOPOLE
    % Monopole source for each cell at each time step
82 Q_point = hist_rho.*hist_ux.*dfdx + hist_rho.*hist_uy.*dfdy;

84 % FFT on monopole source time history
    fft_Q = zeros(size(Q_point));
86 tamanho = size(hist_rho);
    tamanho = length(theta);
88 for i = 1:tamanho
        fft_Q(i,:) = fft(Q_point(i,:));%/L; % row = angle, column =

```

```

    frequency
90 end
    fft_Q(:,1) = []; % removes first line
92 Q = fft_Q(:, I_peak);

94 monopole = zeros(1,tamanho);
    for j = 1:length(probe_x)
96         G = subs(Green, [x,y,xi,eta], [probe_x(j),probe_y(j),0,0]);
            monopole(j) = trapz(1i*2*pi*freq_lat*Q*G);
98 end

100 figure
    polar(theta,abs(monopole))
102
    %% DIPOLE
104 % Dipole source for each cell at each time step
    F1_point = (hist_p + hist_rho.*hist_ux.^2).*dfdx + hist_rho.*hist_ux.*
        hist_uy.*dfdy;
106 F2_point = hist_rho.*hist_ux.*hist_uy.*dfdx + (hist_p + hist_rho.*
        hist_uy.^2).*dfdy;

108 % FFT on dipole source time history
    fft_F1 = zeros(size(F1_point));
110 fft_F2 = zeros(size(F2_point));
    for i = 1:length(theta)
112         fft_F1(i,:) = fft(F1_point(i,:));%/L; % row = angle, column =
            frequency
            fft_F2(i,:) = fft(F2_point(i,:));%/L; % row = angle, column =
            frequency
114 end
    fft_F1(:,1) = []; % removes first line
116 fft_F2(:,1) = []; % removes first line

118 F1 = fft_F1(:,I_peak);
    F2 = fft_F2(:,I_peak);
120
    F_i_peak = sqrt(abs(F1).^2 + abs(F2).^2);
122
    dipole = zeros(1,length(probe_x));

```

```
124 for j = 1:length(probe_x)
    G1 = subs(dGdxi, [x,y,xi,eta], [probe_x(j),probe_y(j),0,0]);
126    G2 = subs(dGdeta, [x,y,xi,eta], [probe_x(j),probe_y(j),0,0]);
    dipole(j) = trapz(F1*G1 + F2*G2);
128 end

130 figure
    polar(theta,abs(dipole))
132
    %% TOTAL PRESSURE
134 pressure = - monopole - dipole;
    figure
136    polar(theta,abs(pressure))

138 data = [theta; monopole; dipole];
    save([file '_results.mat'], 'data')
```

../post_processing.m

3 Resultados

Referências

LOCKARD, D. P. An efficient, two-dimensional implementation of the fflowcs williams and hawkins equation. *Journal of Sound and Vibration*, Elsevier, v. 229, n. 4, p. 897–911, 2000. Citado na página [2](#).